

ОБЪЕДИНЕННЫЙ ИНСТИТУТ ЯДЕРНЫХ ИССЛЕДОВАНИЙ  
ЛАБОРАТОРИЯ ЯДЕРНЫХ ПРОБЛЕМ

С 341-2

\* 51

Ж.Т. Желев

1821

ИССЛЕДОВАНИЕ СХЕМ РАСПАДА  
НЕЙТРОНОДЕФИЦИТНЫХ ИЗОТОПОВ ЕВРОПИЯ

Автореферат диссертации на соискание ученой степени  
кандидата физико-математических наук

Научный руководитель —  
член-корреспондент АН СССР

Б.С. Джелепов

Ж.Т. Желев

1821

С 341.2

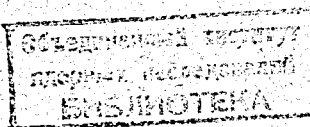
№-51

ИССЛЕДОВАНИЕ СХЕМ РАСПАДА  
НЕЙТРОНОДЕФИЦИТНЫХ ИЗОТОПОВ ЕВРОПИЯ

Автореферат диссертации на соискание ученой степени  
кандидата физико-математических наук

Научный руководитель –  
член-корреспондент АН СССР

Б.С. Джелев



Дубна 1964

Методами ядерной спектроскопии удается получить ценную информацию как о возбужденных, так и об основных состояниях ядер. За последние годы был накоплен большой экспериментальный материал, который способствовал развитию теоретических представлений о структуре ядра. Были предложены разные модели, которые успешно объясняли и предсказывали отдельные свойства групп ядер. Большие успехи достигнуты в объяснении свойств ядер с числом протонов и нейтронов, близким к "магическим" - теория Майера. На основе теории деформированных ядер Бора и Мотельсона удалось понять целый ряд свойств ядер с атомным номером  $150 < A < 180$  и  $A > 225$ . Несколько хуже обстоит дело с объяснением свойств ядер в переходных областях, т.е. там, где число нейтронов или протонов заметно отличается от магического, но ядра еще не деформированы.

Диссертация посвящена исследованию свойств ядер, проявляющихся при радиоактивном распаде изотопов  $\text{Eu}^{140}$ ,  $\text{Eu}^{148}$ ,  $\text{Eu}^{147}$ ,  $\text{Eu}^{146}$  и  $\text{Eu}^{148}$ .

Первая глава диссертации посвящена описанию свойств  $\beta$ -спектрометра с трехкратной фокусировкой, который был построен автором и с помощью которого получены основные результаты представленной диссертации. Основной принцип  $\beta$ -спектрометра с трехкратной фокусировкой заключается в следующем. Электроны, вылетающие из источника - "радиоактивный изотоп", - двигаясь в однородном поперечном магнитном поле по спиральной траектории, трижды фокусируются под углами  $180^\circ$ ,  $360^\circ$  и  $540^\circ$ . Движение электрона по спирали задается выделяющими диафрагмами. Электроны детектируются счетчиками Гейгера-Мюллера, расположенными за первым и третьим фокусами: первый счетчик - за первым фокусом, второй и третий - за третьим фокусом. Счетчики включены в схему совпадений. Использование этого принципа позволило сильно снизить фон регистрирующей системы. Принцип многократной фокусировки позволяет также в значительной мере избавиться от рассеянных заряженных частиц, что крайне важно при изучении малointенсивного излучения одного знака при наличии интенсивных излучений другого знака.

В первой главе описана конструкция прибора, его характеристики, способ создания однородного магнитного поля, градуировка спектрометра по энергии и интенсивности.

Фокусировка пучка электронов в приборе была улучшена введением в фокусирующую систему магнитного диполя. При этом разрешающая способность прибора была улучшена

в 3,3 раза при потере интенсивности счета на максимуме линий на 85%. Таким образом, использованный в работе  $\beta$ -спектрометр имел следующие характеристики: разрешающая способность - 1,0%, светосила - 0,06%, фон регистрирующей системы - 1-2 импульса в час.

Вторая глава диссертации посвящена исследованию свойств нейтронодефицитных изотопов европия.

Радиоактивные изотопы мы получали при облучении танталовой или эрбевой мишней протонами с энергией 660 МэВ на синхроциклотроне Объединенного института ядерных исследований. Изотопы европия отделялись от других редкоземельных элементов хроматографическим методом.

В работе были использованы в качестве источников как препараты европия, представляющие собой сумму его изотопов, образующихся при облучении мишней (фракция европия), так и моноизотопные препараты европия, полученные при вторичных выделениях дочерних изотопов европия из гадолиния и тербия.

$^{149}_{\text{Eu}}$

Изучен спектр конверсионных электронов. С помощью сцинтилляционного  $\gamma$ -спектрометра исследованы  $\gamma$ -спектр и спектры  $\gamma-\gamma$ -совпадений. Обнаружены  $\gamma$ -переходы с энергиями: 22, 73, 178, 255, 278, 329, 350, 507 и 529 кэВ. Получены данные об интенсивностях конверсионных электронов. Определена мультипольность перехода 22 кэВ. На основе полученных данных предложена схема распада  $\text{Eu}^{149}$  (рис. 1). Проведено сравнение свойств возбужденных уровней ядер  $^{149}_{62-87}\text{Sm}$  и  $^{151}_{64-87}\text{Gd}$ . Сделаны выводы о квантовых характеристиках уровней  $\text{Sm}^{149}$ .

$^{148}_{\text{Eu}}$

Изучены спектр конверсионных электронов, спектр позитронов, спектр  $\gamma$ -лучей и спектры  $\gamma-\gamma$ -совпадений. Установлено, что при распаде  $\text{Eu}^{148}$  возникают  $\gamma$ -переходы с энергиями: 89, 311, 414, 433, 551, 574, 632, 726, 870, 935, 1035, 1335, 1525, 1610 и 1650 кэВ. Предлагается схема распада  $\text{Eu}^{148}$  (рис. 2). Определены мультипольности ряда переходов: 632 (E2), 726 (E2 или E1), 870 (M1, E2), 1033 (E1 или M1), 1335 (E1), 1525 (E1) и 1650 кэВ (E1 или E2). На основе этих данных сделаны предположения о квантовых характеристиках уровней  $\text{Sm}^{148}$ .

Eu <sup>147</sup>

При исследовании спектра конверсионных электронов Eu<sup>147</sup> обнаружены  $\gamma$ -переходы с энергиями: 77, 121, 198, 602, 676, 800, 856, 881, 892, 957, 1078, 1199, 1256, 1332 и 1454 кэв. На основе этих данных предложена схема распада Eu<sup>147</sup> (рис. 3). Существование указанных на рис. 3 уровней Sm<sup>147</sup> доказано в опытах по  $\gamma$ - $\gamma$ -совпадениям. Обнаружены позитроны, возникающие при распаде Eu<sup>147</sup>. Границная энергия позитронного спектра -  $630 \pm 15$  кэв; интенсивность - 0,28% на распад Eu<sup>147</sup>.

Сделан баланс интенсивностей переходов при распаде Eu<sup>147</sup>, определены вероятности  $\beta^-$ -переходов (lg ft). На этой основе сделаны выводы о характере запрещения  $\beta^-$ -переходов при распаде Eu<sup>147</sup>. Проведено сравнение свойств возбужденных уровней ядер  $^{147}_{62}\text{Sm}_{85}$ ,  $^{145}_{140}\text{Nd}_{85}$  и  $^{149}_{64}\text{Gd}_{85}$ . Показано, что эти ядра имеют близкие свойства. Делается предположение, что изменения в свойствах этих ядер по мере увеличения числа протонов могут быть связаны с приближением к области стабильной деформации.

Eu <sup>146</sup>

При изучении спектра конверсионных электронов установлено, что при распаде Eu<sup>146</sup> возникает 35  $\gamma$ -переходов в области энергии до 2200 кэв. Сложный характер  $\gamma$ -спектра не позволил получить достаточно интересных сведений о  $\gamma$ -лучах Eu<sup>146</sup>. При исследовании спектра позитронов обнаружено три компоненты с граничными энергиями:  $2160 \pm 50$ ,  $1500 \pm 20$  и  $780 \pm 30$  кэв и относительными интенсивностями 0,14, 3,3 и 0,43, соответственно в процентах на распад. Доказано, что компонента с граничной энергией 2160 кэв возникает при  $\beta^+$ -распаде Eu<sup>146</sup> и не может быть объяснена механизмом внутренней парной конверсии. Это позволяет определить разность масс ядер Eu<sup>146</sup>  $\rightarrow$  Sm<sup>146</sup> и значения lg(ft) для позитронного распада Eu<sup>146</sup>. Обсуждается схема распада Eu<sup>146</sup> (рис. 4).

Eu <sup>145</sup>

Изучение распада Eu<sup>145</sup> было затруднено тем, что его обычно изучали в смеси с Eu<sup>146</sup>. Оба изотопа имеют близкие периоды полутораспада: Eu<sup>145</sup> ( $T_{1/2} = 5,6$  дн.), Eu<sup>146</sup> ( $T_{1/2} = 4,8$  дн.). Нам удалось получить чистый Eu<sup>145</sup>, возникающий при  $\alpha$ -распаде Tb<sup>145</sup>. Изучен конверсионный спектр Eu<sup>145</sup>. Обнаружены  $\gamma$ -переходы с энергиями: 110, 181, 214, 338, 364, 372, 542, 656, 766, 894, 1663, 1878 и 2001 кэв.

Получены сведения об относительных интенсивностях конверсионных линий этих переходов. Обнаружены позитроны с граничными энергиями  $1740 \pm 40$ ,  $800 \pm 40$  кэв и интенсивностями 1,4 и 0,6% на распад, соответственно.

Методом тройных  $\gamma$ -совпадений (511 кэв - 511 кэв -  $\gamma$ ) показано, что  $\beta^+$ -компоненты с граничной энергией 1740 кэв идет в основное состояние  $\text{Sm}^{145}$ , а компонента 800 кэв на уровень с энергией 894 кэв. Разность масс ядер  $\text{Eu}^{145} \rightarrow \text{Sm}^{146}$  равна  $2760 \pm 40$  кэв. Проведен анализ схемы распада  $\text{Eu}^{145}$ : выполнен баланс интенсивностей переходов при распаде  $\text{Eu}^{145}$ , определены значения  $\lg(\text{ft})$ , определены мультипольности переходов. Из существовавших ранее разных вариантов схемы распада  $\text{Eu}^{145}$  предпочтениедается одному, приведенному на рис. 5. В схему распада размещены два вновь обнаруженных перехода.

По теме диссертации автором опубликованы следующие работы:

1. Б.С.Джелепов, Ж.Т.Желев, А.В.Кудрявцева. Исследование позитронных спектров  $\text{Eu}^{145}$  и  $\text{Eu}^{146}$ . Препринт ОИЯИ, Р-587 (1980).
2. Б.С.Джелепов, Ж.Т.Желев, А.В.Кудрявцева. Исследование спектра конверсионных электронов в  $\text{Eu}^{146}$ . Препринт ОИЯИ, Р-587 (1980).
3. Б.С.Джелепов, Ж.Т.Желев, А.В.Кудрявцева, Р.Степич. Исследование конверсионных электронов  $\text{Eu}^{148}$ ,  $\text{Eu}^{149}$ . Препринт ОИЯИ, Р-585 (1980).
4. К.Я.Громов, Б.С.Джелепов, Ж.Т.Желев, В.Звольская. О мультипольности перехода 22 кэв в ядре  $\text{Sm}^{149}$ . Препринт ОИЯИ, 959 (1982).
5. Ван Фу-цзюнь, И.Визи, К.Громов, Б.Джелепов, Ж.Желев, А.Кудрявцева, Ю.Яэвицкий. О схеме распада  $\text{Eu}^{149}$ . Изв. АН СССР (сер. физ.), 26, 114 (1962); Nucl. Phys., 30, 110 (1962).
6. И.Визи, К.Громов, Б.Джелепов, Ж.Желев, Ю.Яэвицкий. О схеме распада  $\text{Eu}^{147}$ . Изв. АН СССР (сер. физ.), 25, 1101 (1961); Nucl. Phys., 30, 120 (1962).
7. А.Бахмат, В.Белогуров, К.Громов, Ж.Желев, Л.Пелекис. Исследование спектра  $\gamma$ -лучей  $\text{Eu}^{148}$ . Изв. АН СССР (сер. физ.), 26, 217 (1962).
8. Б.С.Джелепов, Д.А.Енчев, Ж.Желев. Об улучшении фокусировки в  $\beta^-$ -спектрометрах с трёхкратной фокусировкой. Материалы XШ Ежегодного совещания по ядерной спектроскопии в Киеве, 1963 г.
9. Г.Громов, Б.Джелепов, Д.Енчев, Ж.Желев, В.Калинников, А.Кудрявцева, Н.Лебедев. Исследование спектра конверсионных электронов и спектров позитронов европиевой фракции. Материалы XIУ Ежегодного совещания по ядерной спектроскопии в Тбилиси, 1964 г.

Рукопись поступила в издательский отдел  
4 сентября 1984 г.

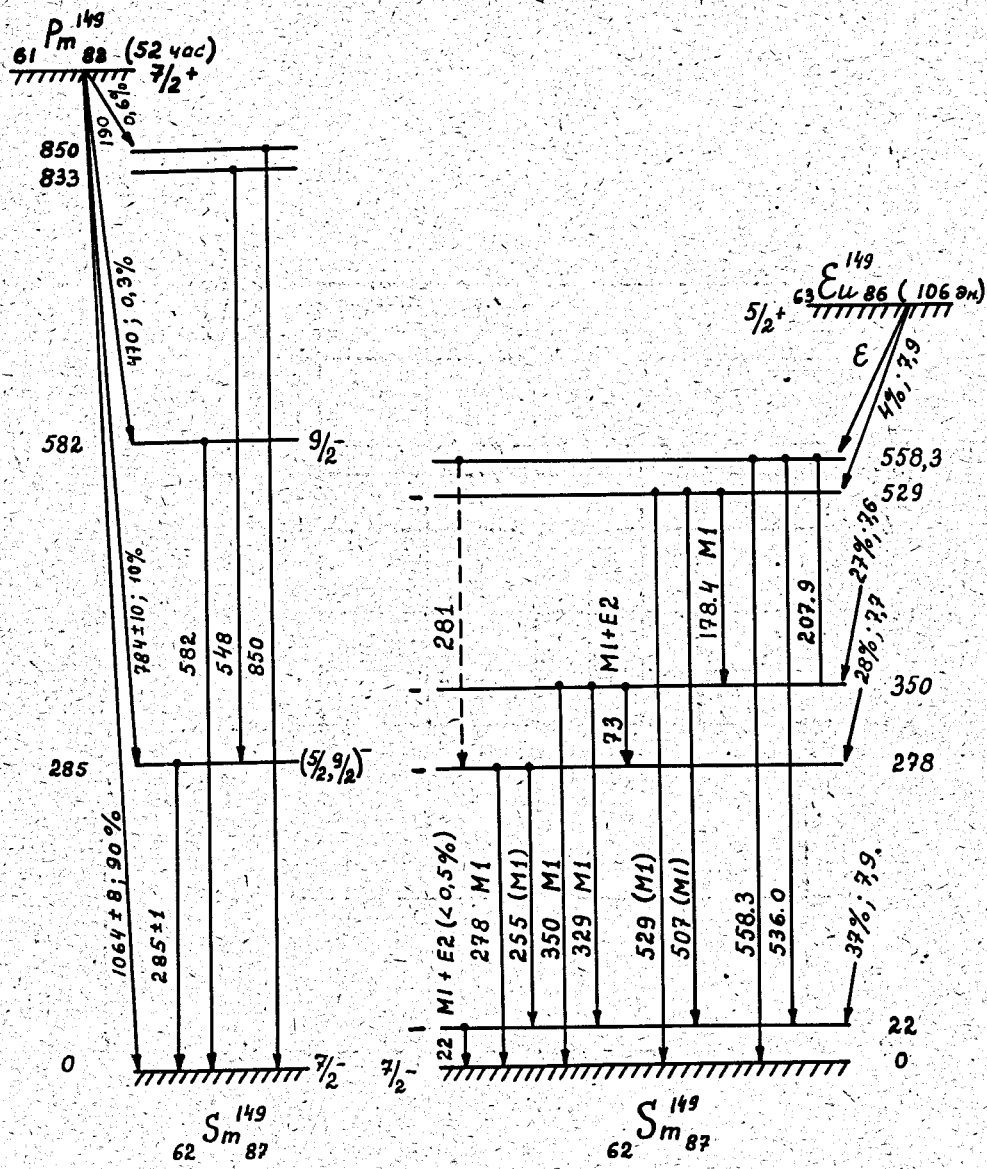
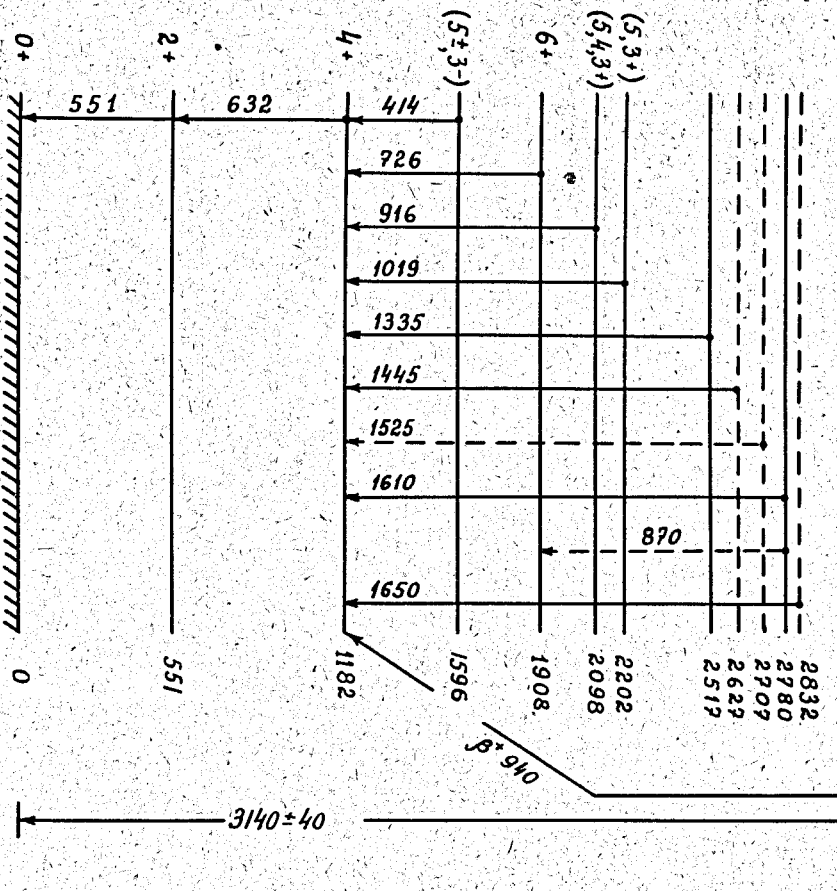


FIG. 1.

$\text{Eu}^{148}$   
 $\text{Eu}^{148}$



$S_{m=86}^{148}$

Proc. 2..

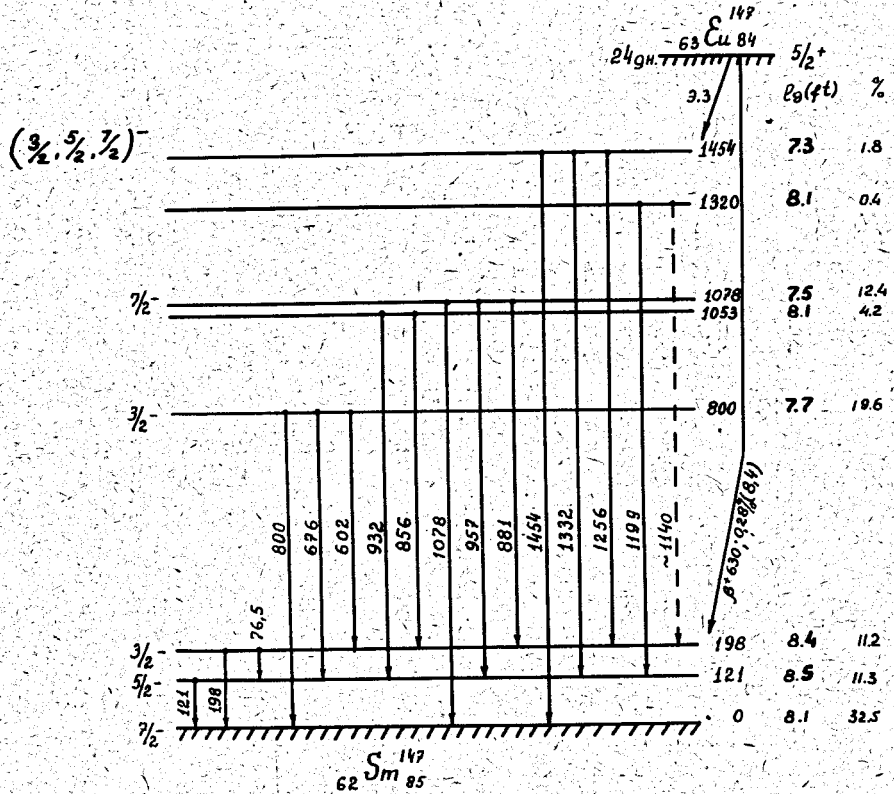


Рис. 3.

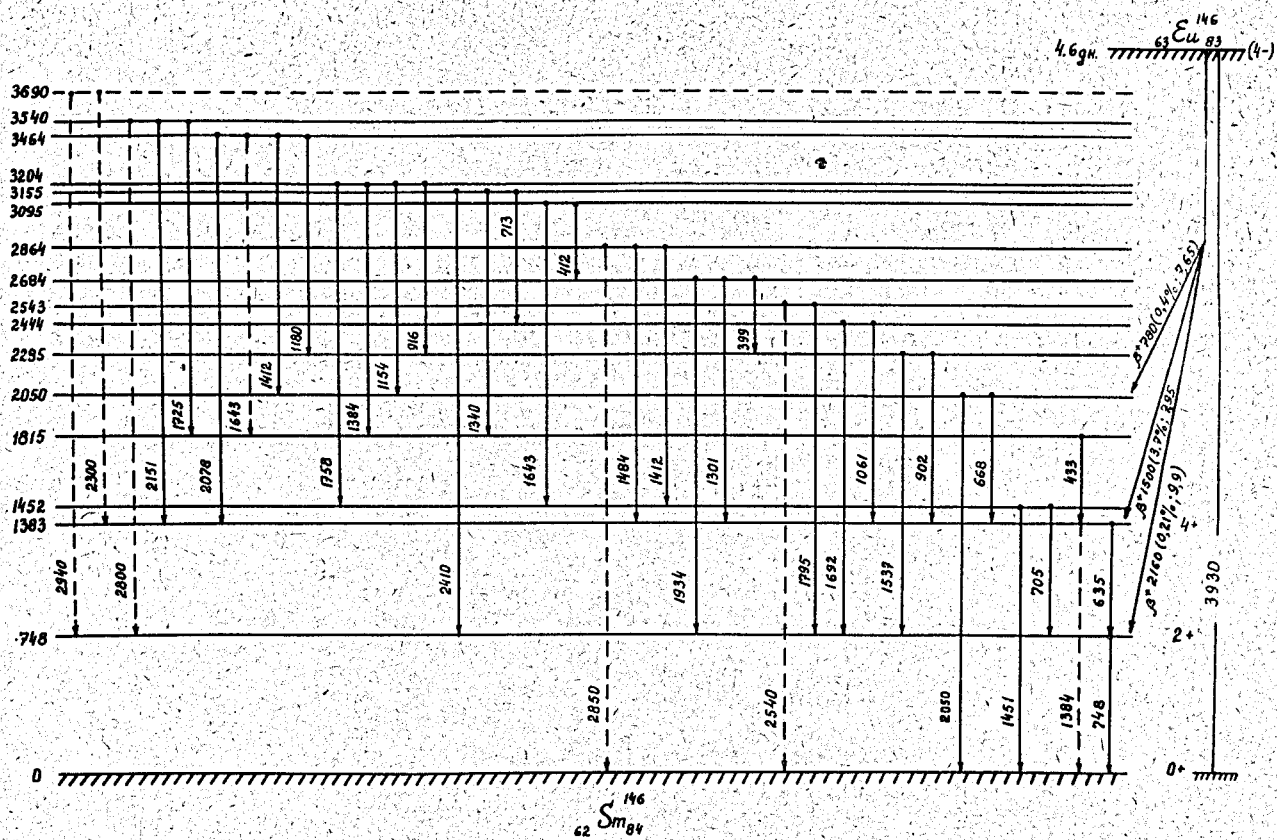


Рис. 4.

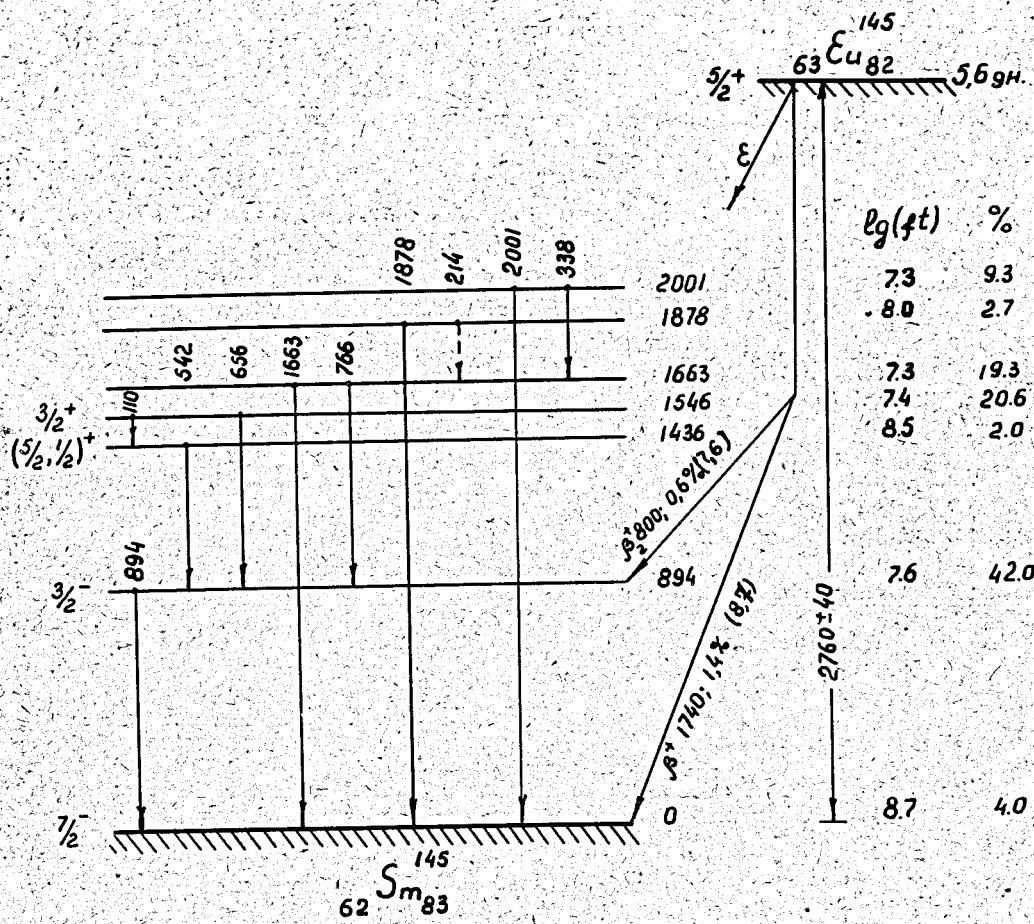


FIG. 5.